

Отчет по лабораторной работе  
**Оптимальные фильтры**

Выполнили студенты 431 и 432 групп  
Мищенко Евгения, Смирнов Дмитрий,  
Балашов Артём, Травин Роман, Владислав Черняев

# Введение

Цель работы: изучение построения и свойств оптимальных фильтров на примерах фильтров для видеоимпульсных и радиоимпульсных сигналов прямоугольной формы и радиоимпульса с линейным законом изменения частоты.

Оборудование: компьютер с установленной программой LabView 2011

## Теоретическая часть

### Общие сведения

Для задачи обнаружения сигналов на фоне шумов наибольшее распространение получил так называемый оптимальный фильтр, который максимизирует отношение сигнал-шум. Требования к такому фильтру можно сформулировать следующим образом. На вход фильтра подаётся сумма сигнала и шума. Сигнал является полностью известным (заданы его форма и положение на оси времени). Шум представляет собой случайный процесс с заданными статистическими характеристиками. Требуется синтезировать фильтр, обеспечивающий получение на выходе наибольшего возможного отношения пикового значения сигнала к среднеквадратичному значению шума. При этом не ставится условие сохранения формы сигнала, так как для обнаружения его в шумах форма не имеет значения.

### Передаточная функция оптимального фильтра

Под синтезом оптимального фильтра будем подразумевать отыскание передаточной функции физически осуществимого фильтра, обеспечивающего максимизацию отношения сигнал-шум.

Передаточную функцию будем представлять в форме

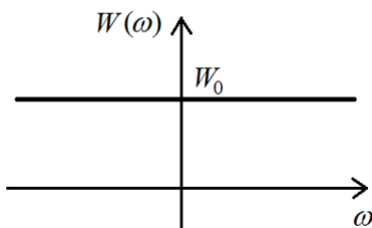
$$\bar{K}(i\omega) = K(\omega)e^{i\varphi_k(\omega)} \quad (1)$$

Таким образом, задана сводится к отысканию АЧХ  $K(\omega)$  и ФЧХ  $\varphi_k(\omega)$  оптимального фильтра.

Наиболее просто эта задача решается для сигнала, действующего на фоне белого шума с равномерным спектром

$$W(\omega) = W_0 = \text{const} \quad (2)$$

Рис. 1. Энергетический спектр белого шума



где  $W_0$  – уровень двухсторонней спектральной плотности мощности (энергетического спектра) белого шума (рис. 1).

Для отыскания оптимальной передаточной функции  $\bar{K}(i\omega)$  составим выражение для сигнала и шума на выходе фильтра сначала порознь, а затем в виде их отношения.

Допустим, что пик сигнала получается на выходе фильтра в какой-то (пока неизвестный) момент времени  $t = t_0$ . Выходной сигнал запишется так:

$$s_{\text{вых}}(t_0) = \frac{1}{2\pi} \int_{-\infty}^{\infty} \bar{S}(\omega) \bar{K}(i\omega) e^{i\omega t_0} d\omega = \frac{1}{2\pi} \int_{-\infty}^{\infty} S(\omega) K(\omega) e^{i[\theta_s(\omega) + \phi_k(\omega) + \omega t_0]} d\omega, \quad (3)$$

а среднеквадратическое значение шума выражением

$$\sigma_{\text{блх}} = \left[ \frac{1}{2\pi} \int_{-\infty}^{\infty} W(\omega) K^2(\omega) d\omega \right]^{1/2} = \left[ \frac{W_0}{2\pi} \int_{-\infty}^{\infty} K^2(\omega) d\omega \right]^{1/2}. \quad (4)$$

В выражении (3)  $\bar{S}(\omega) = S(\omega)e^{i\theta_s(\omega)}$  - спектральная плотность заданного входного сигнала  $s(t)$ , а под  $t_0$  подразумевается момент времени, соответствующий максимуму (пику) сигнала на выходе фильтра. Для образования пика требуется использование всей энергии сигнала, а это возможно не ранее окончания действия входного сигнала, поэтому  $t_0$  не может быть меньше значения момента времени окончания сигнала.

Используя (3) и (4) составим отношение сигнал-шум:

$$\frac{s_{\text{блх}}(t_0)}{\sigma_{\text{блх}}} = \frac{\left| \frac{1}{2\pi} \int_{-\infty}^{\infty} S(\omega) K(\omega) e^{i[\theta_s(\omega) + \phi_k(\omega) + \omega t_0]} d\omega \right|}{\left( \frac{W_0}{2\pi} \right)^{1/2} \left[ \int_{-\infty}^{\infty} K^2(\omega) d\omega \right]^{1/2}}. \quad (5)$$

Оптимальный коэффициент передачи фильтра должен максимизировать это выражение и может быть найден на основе неравенства Коши-Шварца для определенных интегралов:

$$\left| \int_a^b f(x) \cdot \phi^*(x) dx \right| \leq \left[ \int_a^b |f(x)|^2 dx \cdot \int_a^b |\phi(x)|^2 dx \right]^{1/2}, \quad (6)$$

где  $f(x)$  и  $\phi(x)$  - функции комплексной переменной. Знак равенства имеет место в том случае, если функции  $f(x)$  и  $\phi(x)$  равны или, в общем случае, связаны соотношением

$$f(x) = A \phi^*(x), \quad (7)$$

где  $A$  – произвольный постоянный коэффициент, \* знак комплексного сопряжения.

На основе неравенства Коши-Шварца (6) выражение (5) запишется в следующем виде:

$$\frac{s_{\text{блх}}(t_0)}{\sigma_{\text{блх}}} \leq \frac{\left[ \frac{1}{2\pi} \int_{-\infty}^{\infty} S^2(\omega) d\omega \cdot \int_{-\infty}^{\infty} K^2(\omega) d\omega \right]^{1/2}}{\left( \frac{W_0}{2\pi} \right)^{1/2} \left[ \int_{-\infty}^{\infty} K^2(\omega) d\omega \right]^{1/2}} = \frac{1}{W_0^{1/2}} \left[ \frac{1}{2\pi} \int_{-\infty}^{\infty} S^2(\omega) d\omega \right]^{1/2}. \quad (8)$$

Учитывая, что выражение в квадратных скобках правой части этого равенства есть не что иное, как полная энергия  $E$  входного сигнала  $s(t)$ , приходим к следующему результату:

$$s_{\text{блх}}(t_0)/\sigma_{\text{блх}} \leq \sqrt{E/W_0}. \quad (9)$$

Из выражения (6) это неравенство обращается в равенство при выполнении условия  $K(\omega)e^{i[\phi_k(\omega) + \omega t_0]} = A\bar{S}^*(\omega) = AS(\omega)e^{-i\theta_s(\omega)}$  или, что тоже,

$$\bar{\mathbf{K}}(i\omega) = K(\omega)e^{i\phi_k(\omega)} = A\bar{S}^*(\omega)e^{-i\omega t_0} = AS(\omega)e^{-i[\theta_s(\omega) + \omega t_0]}. \quad (10)$$

Полученное соотношение полностью определяет передаточную функцию фильтра, максимизирующего отношение сигнал-шум на выходе (при входной помехе типа белого шума).

Функция  $\overline{K}(i\omega)$ , отвечающая условию (10), согласована со спектральными характеристиками сигнала – амплитудой и фазой. В связи с этим рассматриваемый оптимальный фильтр часто называют *согласованным* фильтром.

Итак, отношение пика сигнала к среднеквадратическому значению шума на выходе согласованного фильтра определяется равенством

$$s_{\text{вых}}(t_0) / \sigma_{\text{вых}} = \sqrt{E / W_0} \quad (11)$$

Таким образом, отношение сигнал-шум на выходе ОФ не зависит от формы сигнала и определяется лишь отношением его энергии к спектральной плотности мощности белого шума.

Из соотношения (10) вытекают следующие два требования к согласованному фильтру:

1) ФЧХ фильтра должна отвечать условию

$$\varphi_k(\omega) = -[\theta_s(\omega) + \omega t_0] \quad (12)$$

2) АЧХ должна отвечать условию

$$K(\omega) = AS(\omega) \quad (13)$$

Физический смысл соотношения (12) состоит в том, что начальные фазы спектральных составляющих на выходе согласованного фильтра должны быть скомпенсированы таким образом, чтобы в момент времени  $t_0$  все они имели одинаковую фазу. Это достигается фазовым сдвигом в фильтре  $-\theta_s(\omega)$ , равным по величине и обратным по знаку начальной фазе соответствующей составляющей спектра  $S(\omega)$  входного сигнала. В результате прохождения сигнала через фильтр с фазовой характеристикой  $\varphi_k(\omega)$  сложение всех компонентов спектра, скорректированных по фазе, образует пик выходного сигнала. Слагаемое фазовой характеристики  $\varphi_k(\omega)$ , равное  $-\omega t_0$ , указывает на то, что пик задержан относительно начала сигнала  $s(t)$  на время  $t_0$ . Иначе говоря, элементарные спектральные составляющие при условии (12) складываются когерентно и в момент времени  $t=t_0$  образуют "всплеск" выходного сигнала. Это возможно, если задержка сигнала при прохождении фильтра не меньше, чем полная длительность сигнала.

Связь между фазовым спектром  $\vartheta_s(\omega)$  входного сигнала, компенсирующей его характеристикой фильтра  $\vartheta_s(\omega)$  и полной ФЧХ фильтра  $\varphi_k(\omega) = -[\theta_s(\omega) + \omega t_0]$  поясняется на рис. 2.

После прохождения через фильтр спектр выходного сигнала будет иметь фазовую характеристику, показанную прямой линией на том же рисунке:

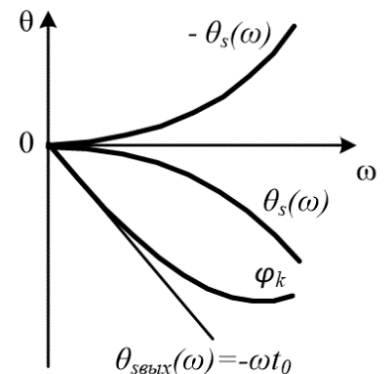


Рис. 2. Соотношение между фазовыми характеристиками спектра сигнала

$$\theta_{\text{свых}}(\omega) = \theta_s(\omega) + \varphi_k(\omega) = \theta_s(\omega) + [-\theta_s(\omega) + \omega t_0] = -\omega t_0. \quad (14)$$

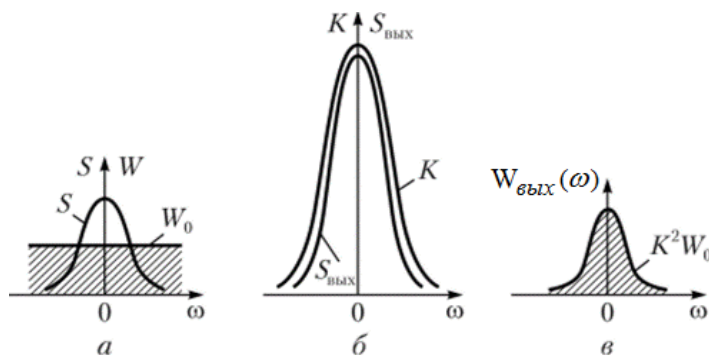


Рис. 3: Оптимальная фильтрация: а — спектры входных сигнала и шума; б — спектр выходного сигнала и АЧХ фильтра; в — спектр выходного

Суть метода обработки принимаемого сигнала оптимальным фильтром приемника поясняет рис. 3, где показаны спектры входных сигнала  $S(\omega)$ , белого шума  $W_0$  и выходного сигнала  $S_{\text{вых}}(\omega)$ , а также АЧХ фильтра  $K(\omega)$  и энергетический спектр выходного шума  $W_{\text{вых}}(\omega)$ .

Соотношение (13) устанавливает, что АЧХ фильтра  $K(\omega)$  должна с точностью до масштабного множителя  $A$  совпадать по форме

с амплитудным спектром  $S(\omega)$  входного сигнала. Благодаря этому подавляющая часть спектральных составляющих входного сигнала, имеющих наибольшие амплитуды, проходит на выход оптимального фильтра без ослабления и вносит основной вклад в образование пикового значения. Из множества спектральных компонентов входного белого шума, располагающихся в бесконечной полосе частот, на выход фильтра проходят и не ослабляются те, которые находятся под кривой его АЧХ, т.е. в ограниченной полосе частот. Это приводит к ослаблению средней мощности шума на выходе фильтра по сравнению с его мощностью на входе. В результате этого отношение сигнал-шум на выходе оптимального фильтра увеличивается.

### Импульсная характеристика согласованного фильтра

Тот факт, что коэффициент передачи согласованного фильтра  $\bar{K}(i\omega)$  является функцией, сопряженной со спектром сигнала  $\bar{S}(\omega)$ , указывает на существование тесной связи также и между временными характеристиками согласованного фильтра.

Другой исчерпывающей характеристикой для линейного фильтра с постоянными во времени параметрами является его импульсная характеристика  $h(t)$ , которая используется для описания цепи во временной области. Если задан сигнал  $s(t)$ , то импульсная характеристика согласованного (оптимального) фильтра  $h(t)$  определяется как функция

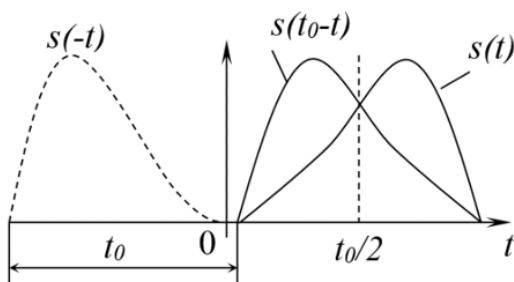


Рис. 4.1. Построение функции, зеркальной по отношению к сигналу

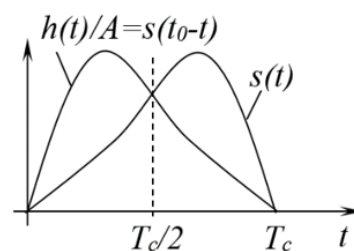


Рис. 4.2. Построение импульсной характеристики согласованного фильтра

$$h(t) = A s(t_0 - t), \quad (15)$$

где  $t_0$  — время задержки сигнала в фильтре.

Таким образом, импульсная характеристика по своей форме должна совпадать с зеркальным отражением сигнала. Построение графика функции  $s(t_0 - t)$  показано на рис. 4.1.

Кривая  $s(-t)$  является зеркальным отражением заданного сигнала  $s(t)$  с осью ординат в качестве оси симметрии. Функция же  $s(t_0-t)$ , сдвинутая относительно  $s(-t)$  на время  $t_0$  вправо, также зеркальна по отношению к исходному сигналу  $s(t)$ , но с осью симметрии, проходящей через точку  $t_0/2$  на оси абсцисс.

На рис. 4.2 показано аналогичное построение для случая, когда отсчет времени ведется от начала сигнала.

Поскольку импульсная характеристика фильтра не может начинаться при  $t < 0$ , задержка  $t_0$  не может быть меньше  $T_c$ . Вся энергия сигнала для создания наибольшего пика в точке  $t = t_0$  может быть использована только при  $t_0 \geq T_c$ . Это накладывает на сигнал  $s(t)$  требование, чтобы длительность его  $T_c$  была конечна. Поэтому использование согласованной фильтрации для увеличения отношения сигнал-шум возможно при импульсном сигнале или при ограниченной по длительности пачке импульсов.

### Сигнал и помеха на выходе согласованного фильтра

В [1] показано, что сигнал на выходе согласованного фильтра  $s_{\text{вых}}(t)$ , а также корреляционная функция шума на выходе согласованного фильтра  $R_{\text{вых}}(\tau)$  с точностью до постоянных множителей совпадают с корреляционной функцией входного сигнала  $B_s(\tau)$ :

$$s_{\text{вых}}(t) = AB_s(t - t_0), \quad (16)$$

$$R_{\text{вых}}(\tau) = A^2 W_0 B_s(\tau). \quad (17)$$

При  $t = t_0$  величина  $B_s(0)$  равна энергии сигнала, поэтому пиковое значение выходного сигнала равно

$$s_{\text{вых}}(t_0) = AB_s(0) = AE, \quad (18)$$

а дисперсия (средняя мощность) шума на выходе

$$\sigma_{\text{вых}}^2 = R_{\text{вых}}(0) = A^2 W_0 B_s(0) = A^2 W_0 E. \quad (19)$$

Используя (18-19), получим выражение для отношения сигнал-шум на выходе согласованного фильтра в момент времени  $t_0$ , определенное выше формулой (11).

Коэффициент  $A$ , фигурирующий во многих предыдущих выражениях, удобно нормировать так, чтобы энергии входного и выходного сигналов были одинаковы, исключая тем самым из анализа усиление сигнала по энергии.

Энергия входного сигнала  $E = B_s(0)$ , а выходного –

$$E_{\text{вых}} = \int_{-\infty}^{\infty} s_{\text{вых}}^2(t) dt = A^2 \int_{-\infty}^{\infty} B_s^2(\tau) d\tau. \quad (20)$$

Приравняв  $E_{\text{вых}}$  величине  $E$ , получим условие нормирования коэффициента  $A$ :

$$A = \sqrt{B_s(0) / \int_{-\infty}^{\infty} B_s^2(\tau) d\tau}. \quad (21)$$

## Примеры построения согласованных фильтров

### Оптимальные фильтры для видеосигнала

Структура оптимального фильтра обычно находится либо спектральным способом – по соотношению (10), либо временным [2] по соотношению (15). В частности, для прямоугольного видеоимпульса длительностью  $2\tau$  (рис. 5а) структура оптимального фильтра, представленная на рис. 5б, может быть достаточно легко найдена из анализа передаточной функции фильтра, получаемой из спектральной плотности входного сигнала [1]:

$$\bar{K}(i\omega) = QA \frac{1 - e^{-i\omega 2\tau}}{i\omega}. \quad (22)$$

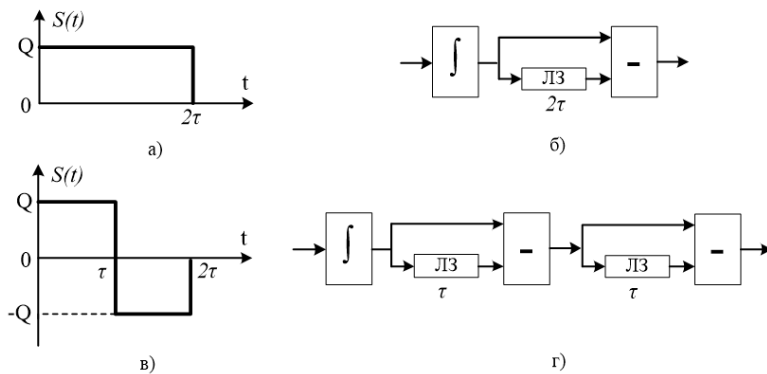


Рис. 5. Сигналы и структурные схемы оптимальных фильтров прямоугольных импульсов

импульсов длительностью  $\tau$  (рис. 5в), оптимальный фильтр имеет структуру, представленную на рис. 5г.

Структуры оптимальных фильтров, представленные на рис. 5, имеют смысл, прежде всего, для их реализации в виде аналоговых цепей. Если же фильтр реализовывать с помощью цифрового вычислительного устройства (при этом вначале потребуется оцифровать сигнал), то процедура оптимальной фильтрации может быть реализована в виде вычисления цифровой свёртки входного сигнала с импульсной характеристикой фильтра, которая заранее заносится в память цифрового вычислительного устройства:

$$s_{\text{вых}}(n) = \sum_{m=0}^n h(m)s(n-m), \quad (23)$$

где  $s(n)$  и  $h(n)$  имеют длины по  $N_1$  и  $N_2$  отсчетов, т. е.  $s(n)$  отлична от нуля при  $0 \leq n \leq N_1-1$ , а  $h(n)$  [2] при  $0 \leq n \leq N_2-1$ .

### Оптимальный фильтр для ЛЧМ радиоимпульса

На рис. 6 показан принцип формирования линейно-частотно-модулированного (ЛЧМ) радиоимпульса.

Огибающая такого импульса  $A_{\text{ог}}(t)$  – одиночный прямоугольный видеоимпульс, а частота заполнения (мгновенная частота) возрастет или убывает по линейному закону от начала до конца импульса:

$$\omega(t) = \omega_0 + \beta t, \text{ при } |t| \leq \tau_u/2, \quad (24)$$

где  $\beta = \frac{\Delta\omega}{\tau_u}$  – параметр, задающий скорость изменения частоты;  $\omega_0$  – средняя частота,  $\Delta\omega$  – девиация частоты,  $\tau_u$  – длительность импульса.

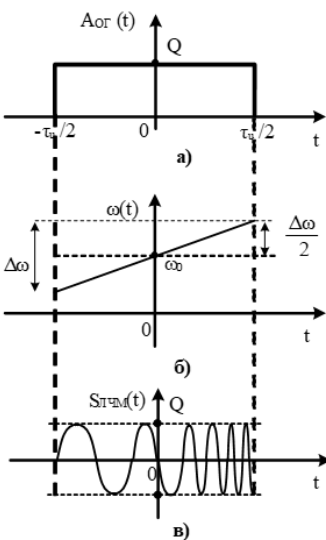


Рис. 6. Принцип формирования ЛЧМ радиосигнала: а) огибающая сигнала; б) закон изменения частоты; в) ЛЧМ радиоимпульс

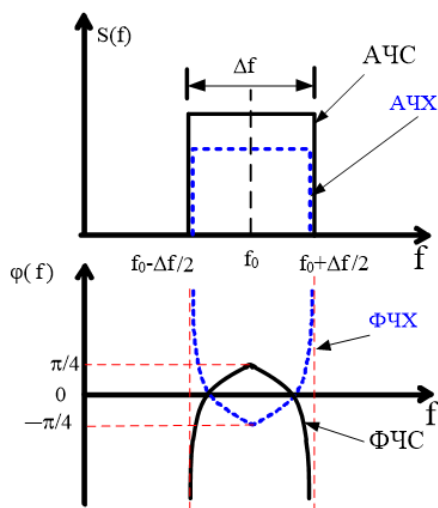


Рис. 8. Аппроксимация амплитудно-частотного и фазо-частотного спектров (АЧС и ФЧС) сигнала и АЧХ и ФЧХ согласованного фильтра

амплитудного спектра для импульса с  $D = 60$  показан на рис. 7. Сложность формы спектральных характеристик ЛЧМ импульса не позволяет добиться точной аналоговой реализации согласованного с ним фильтра, поэтому на практике часто прибегают к аппроксимации амплитудного спектра прямоугольной формой, а фазового – квадратичной параболой (рис. 8):

$$S(\omega) = Q \cdot \left( \frac{\omega - \omega_0}{\beta} \right) \cdot \sqrt{\frac{\pi}{2\beta}}, \quad \varphi(\omega) = \frac{\pi}{4} - \frac{(\omega - \omega_0)^2}{2\beta}. \quad (26)$$

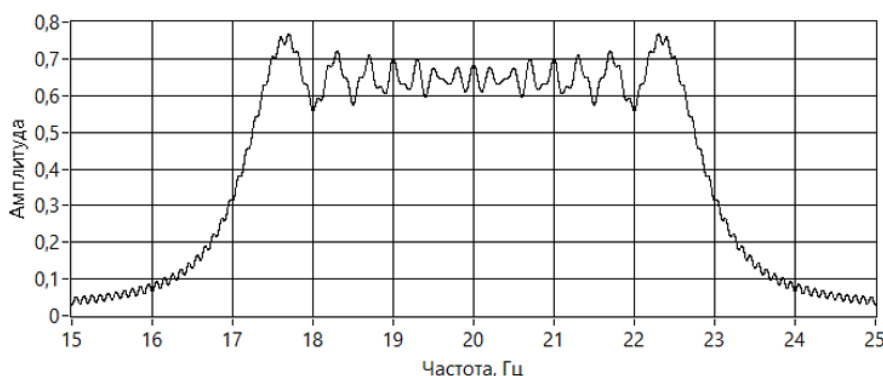


Рис. 7. Пример амплитудного спектра ЛЧМ радиоимпульса с центральной частотой 20 Гц, длительностью 10 сек. и  $D=60$

фильтра и специального четырёхполосника с равномерной АЧХ и квадратичной ФЧХ, противоположной по знаку аппроксимации фазо-частотного спектра сигнала.

Квадратичную форму ФЧХ можно получить с помощью дисперсионных ультразвуковых линий задержки, использующих эффект дисперсии упругих ультразвуковых волн в твердых телах (зависимость скорости распространения волн от частоты).

В цифровом виде согласованный с ЛЧМ импульсом фильтр легко реализовать более точно, без указанных выше аппроксимаций, вычисляя цифровую свёртку (23), в которой импульсная характеристика  $h(n)$  берётся в соответствии с (15).

Мгновенное выходное напряжение (выходной сигнал) оптимального фильтра при действии на его входе сигнала (17) можно приближённо представить в следующем виде (при условии равенства энергий входного и выходного сигналов):

Колебание, представленное на рис. 6, можно записать в виде

$$s_{\text{ЛЧМ}}(t) = A(t) \cos(\theta(t)) = \begin{cases} Q \cdot \cos\left(\omega_0 t + \frac{\beta t^2}{2}\right), & -\frac{\tau_u}{2} \leq t \leq \frac{\tau_u}{2} \\ 0, & |t| > \frac{\tau_u}{2} \end{cases} \quad (25)$$

Если параметры сигнала (25) подобрать так, чтобы удовлетворить соотношению  $D = \Delta f \tau_u = \tau_u \Delta \omega / 2\pi \gg 1$ , то такой ЛЧМ радиоимпульс будет относиться к числу *сложных* сигналов. Параметр  $D$  часто называют *базой* ЛЧМ сигнала.

Амплитудный (амплитудно-частотный) и фазовый (фазо-частотный) спектры ЛЧМ радиосигнала являются достаточно сложными [1], пример

Поскольку строго прямоугольная форма АЧХ также нереализуема, то используют АЧХ реализуемого полосового фильтра. Таким образом, согласованный фильтр в аналоговом виде реализуется в виде сочетания двух линейных четырёхполосников: полосно-пропускающего



$$s_{\text{вых}}(t) = Q\sqrt{D} \cdot \frac{\sin \pi \Delta f(t - \tau_{\text{и}})}{\pi \Delta f(t - \tau_{\text{и}})} \cos \omega_0(t - \tau_{\text{и}}), \quad (27)$$

где  $D = \tau_u / \tau_1 = \Delta f \tau_u$  – коэффициент сжатия сигнала в фильтре по длительности, а  $\tau_1 = 1/\Delta f$  – длительность отклика фильтра на уровне  $2/\pi = 0.637$ , как представлено на рис. 9.

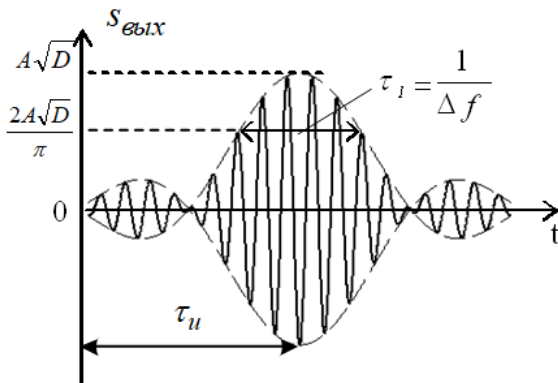


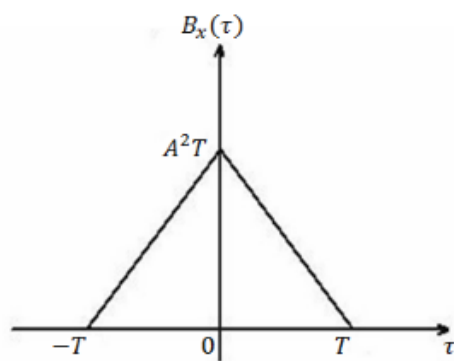
Рис. 9. Выходной сигнал оптимального фильтра, согласованного с ЛЧМ сигналом

Из (27) и рис. 9 видно, что компенсация фаз спектра сигнала при согласованной фильтрации в рассматриваемом случае приводит к сокращению длительности импульса в  $D$  раз при одновременном увеличении амплитуды сигнала в  $\sqrt{D}$  раз. Это обстоятельство является весьма ценным в радиолокации, так как позволяет удлинять импульс, излучаемый передатчиком, и увеличивать его энергию без потери разрешающей способности, которая определяется длительностью импульса на выходе согласованного фильтра. Это преимущество

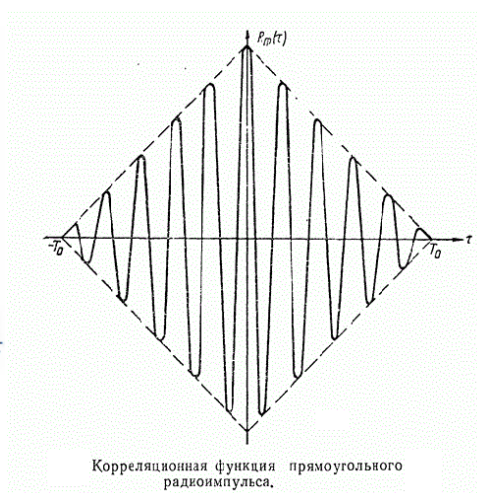
особенно сильно проявляется в тех случаях, когда увеличение амплитуды импульсов в передатчике ограничивается импульсной мощностью приборов, используемых в генераторе колебаний. Технически значительно проще повышать энергию сигнала путем удлинения импульсов при одновременном наложении частотной модуляции, чем увеличением амплитуды импульсов. Практические значения величины  $D$  обычно лежат в диапазоне  $10^3 \dots 10^4$ .

## Практическая часть

1. Построили корреляционные функции прямоугольного импульса (рис. 1а) и прямоугольного радиоимпульса



Корреляционная функция  
прямоугольного импульса



Корреляционная функция  
прямоугольного  
радиоимпульса.

2. Мы настроили виртуальную установку в соответствии с указанными значениями параметров и выбрали «Вид импульса» значение «прямоугольный импульс».

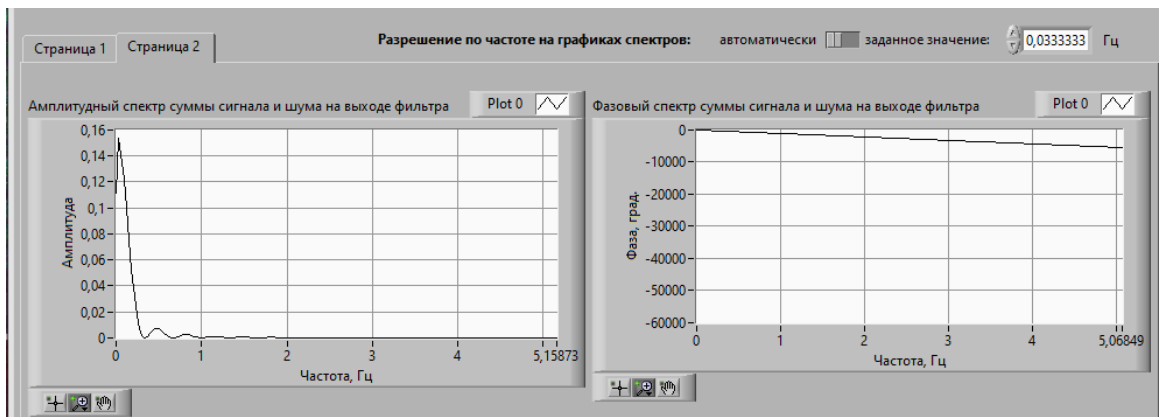
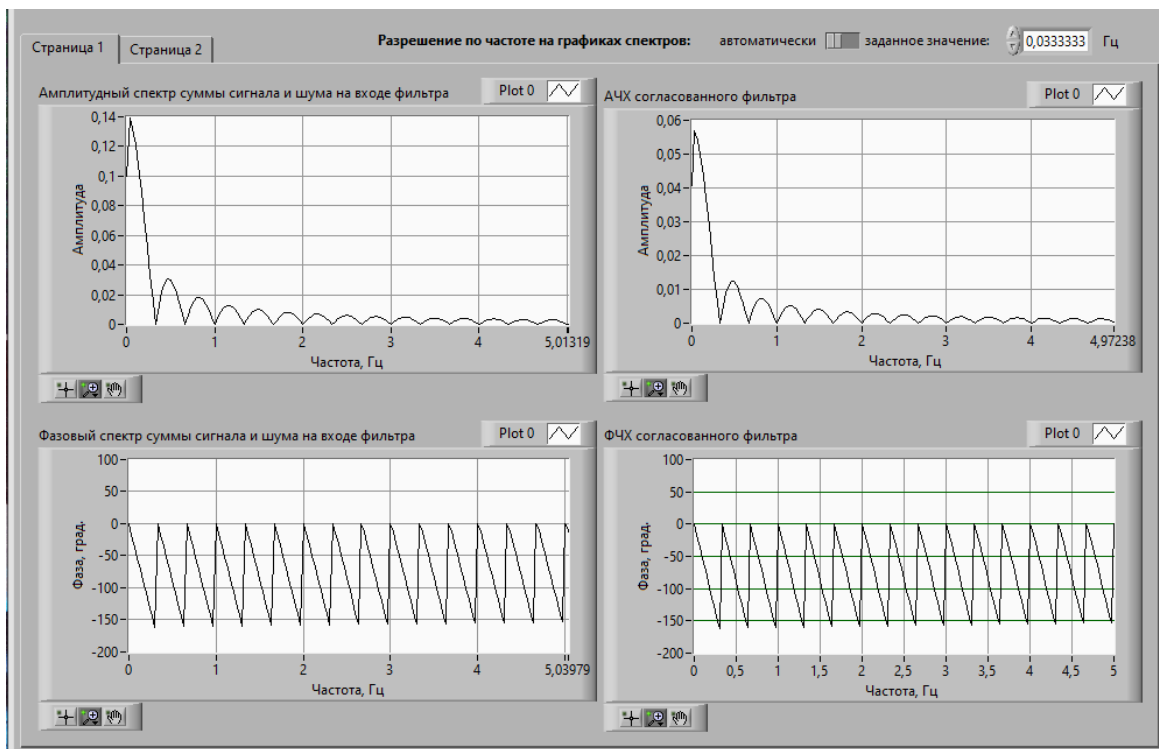
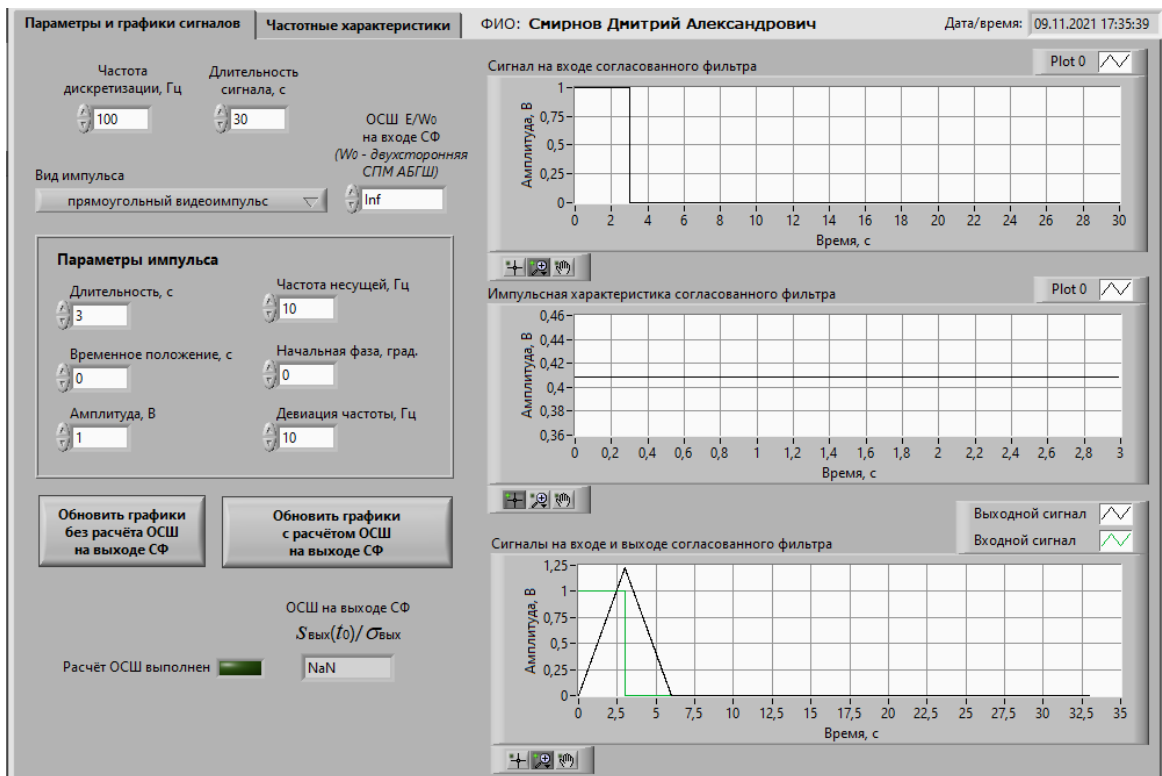
Выполнили согласованную фильтрацию, изучили построенные графики и из них нашли значения, которые занесли в таблицу.

Затем, установили значение отношения сигнал-шум  $E/W_0$  на входе фильтра равным 1000, запустили согласованную фильтрацию зашумлённого сигнала и изучили построенные графики, а также записали значение отношения сигнал-шум на выходе согласованного фильтра.

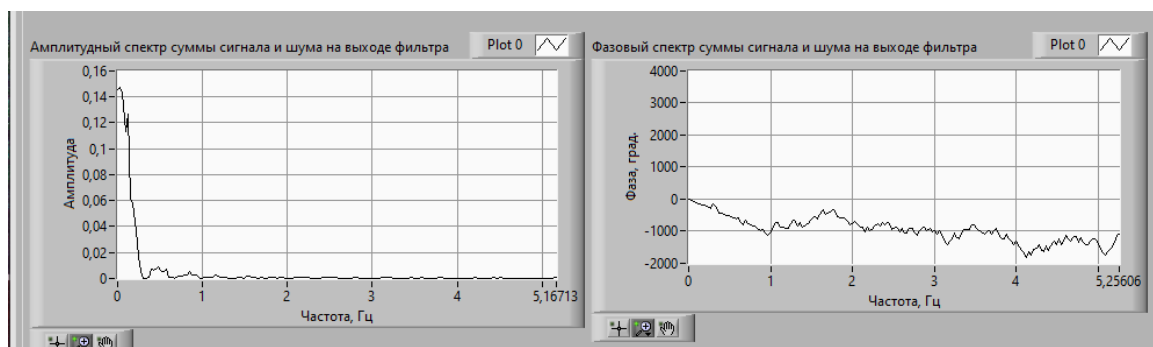
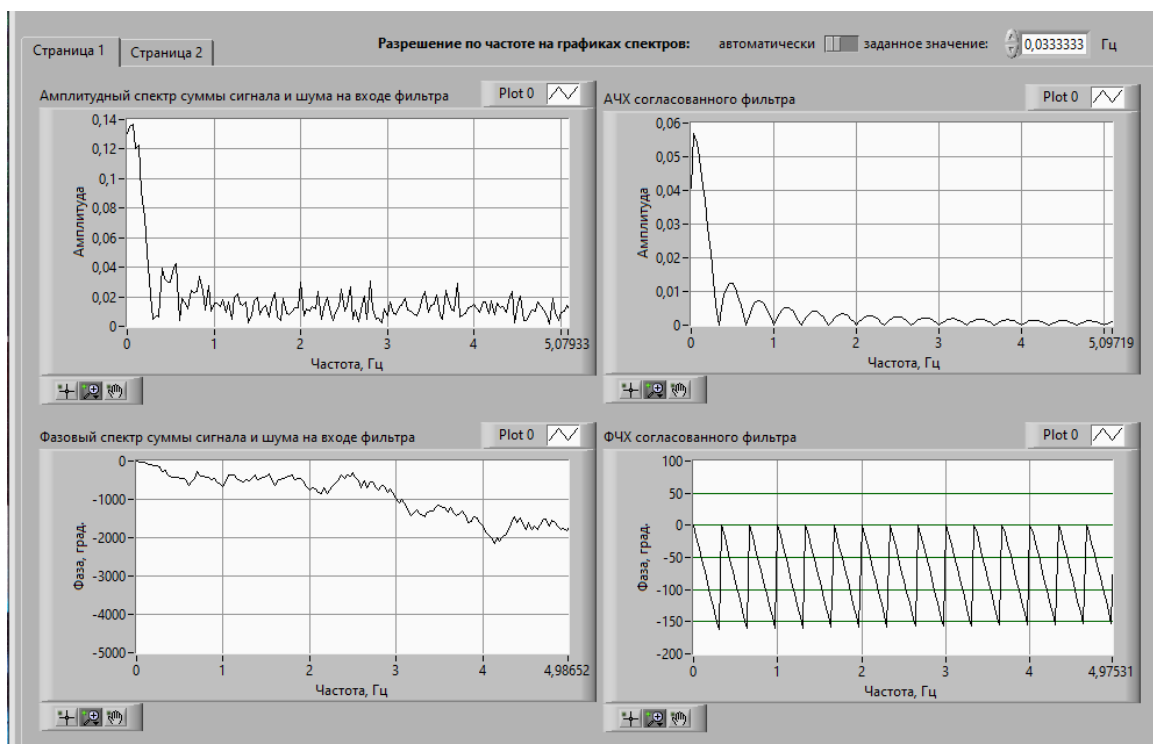
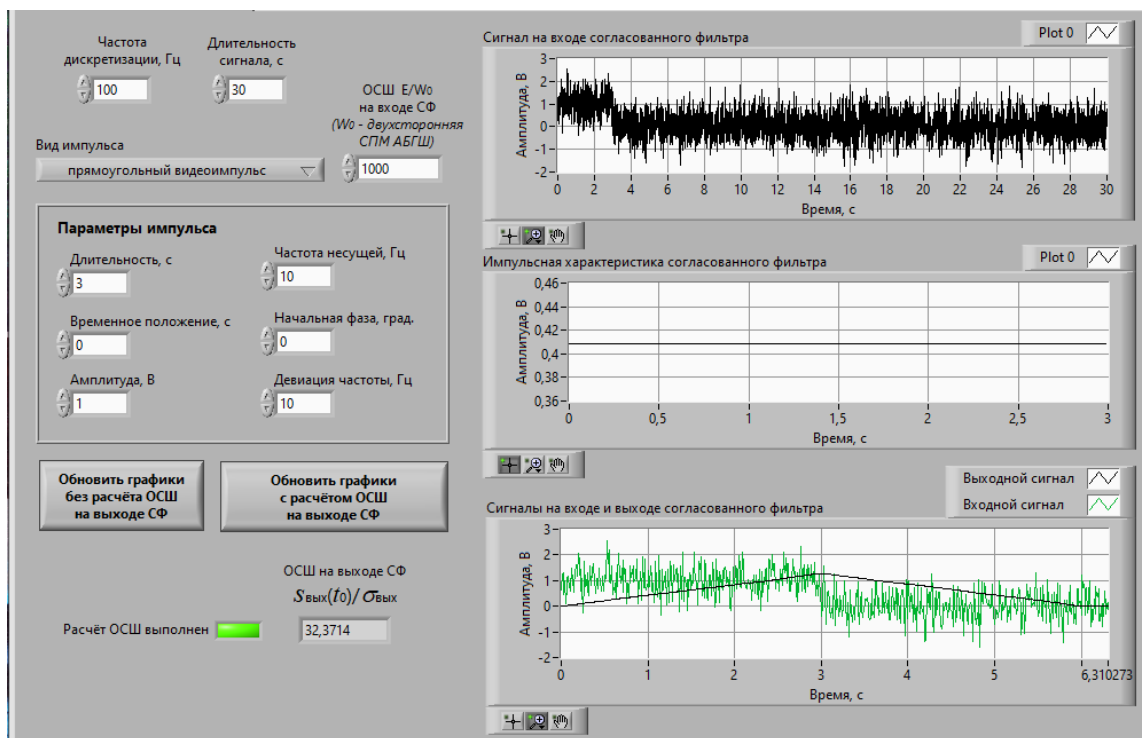
То же самое проделали с прямоугольным радиоимпульсом и ЛЧМ импульсом.

Вид импульса	Отношение пикового значения выходного импульса к амплитуде входного $s_{\text{вых}}(t_0)/Q$	Коэффициент сжатия сигнала в фильтре по длительности $\tau_{\text{и}}/\tau_1$	Значение отношения сигнал- шум на входе согласованного фильтра $E/W_0$	Значение отношения сигнал- шум на выходе согласованного фильтра $s_{\text{вых}}(t_0)/\sigma_{\text{вых}}$	Ширина спектра сигнала $\Delta f$ , Гц	База сигнала $D = \Delta f \tau_{\text{и}}$
прямоугольный видеоимпульс	1.25	1.43	1000	32.9118	0.33	1
прямоугольный радиоимпульс	1.225	1.5	1000	32.6629	0.66	2
ЛЧМ импульс	5.48	100	1000	30.7458	10	30

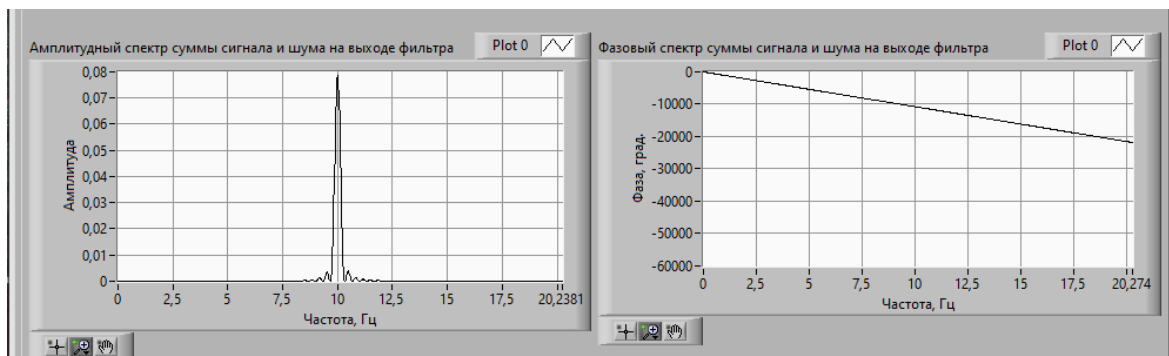
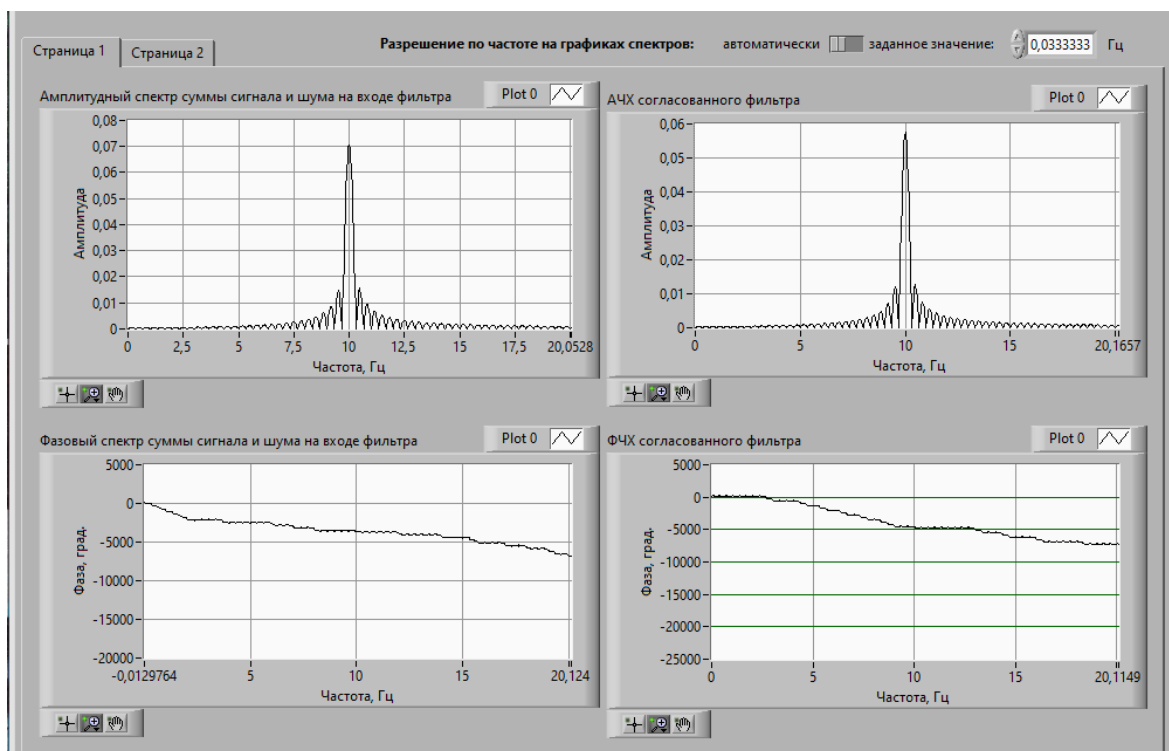
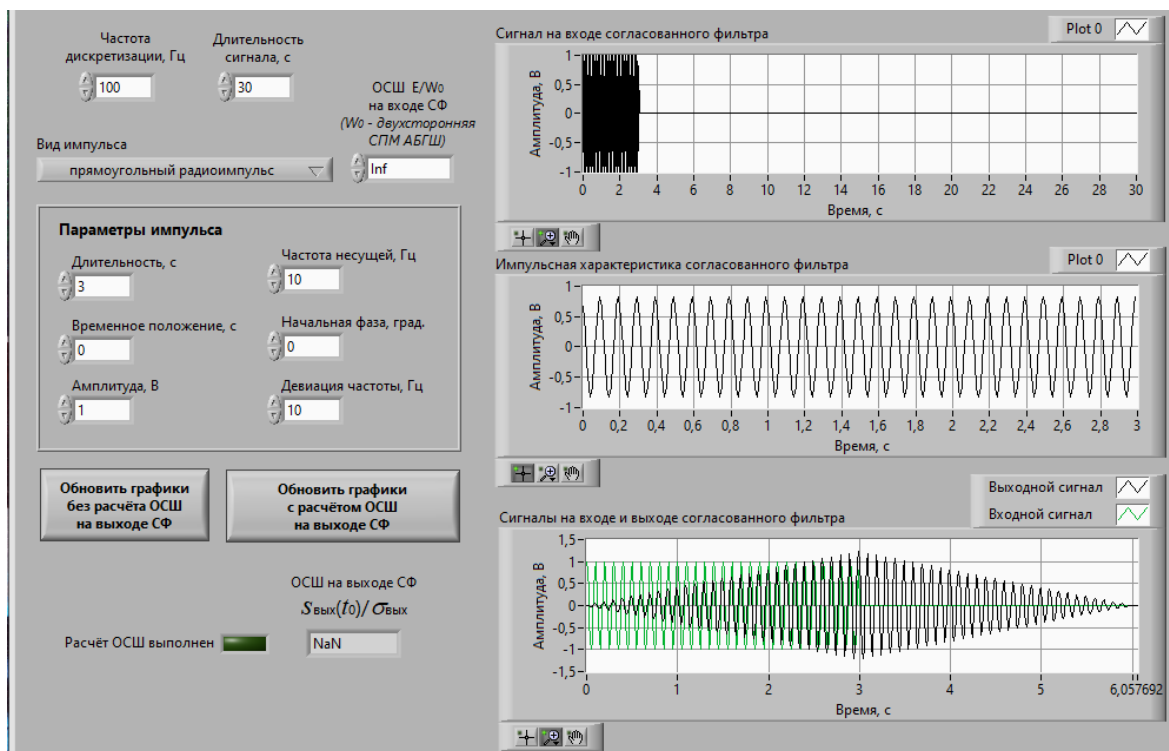
# Прямоугольный видеоимпульс без расчета ОСШ



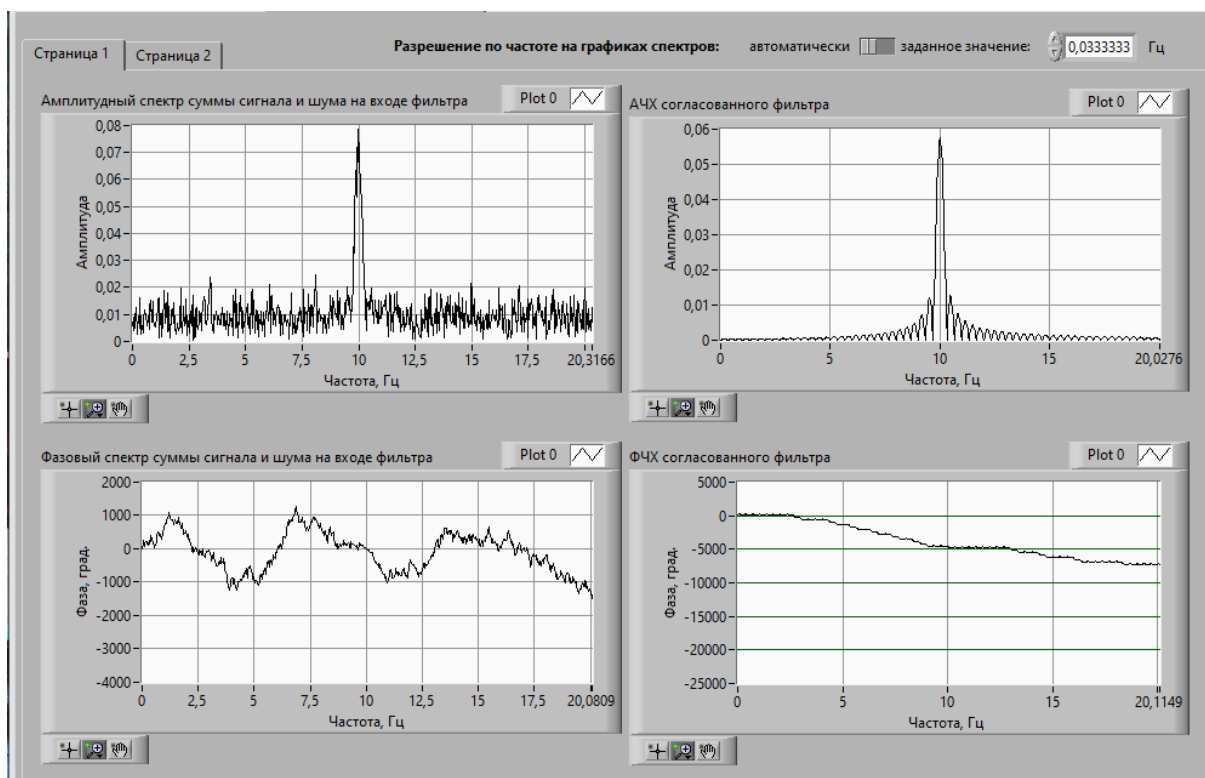
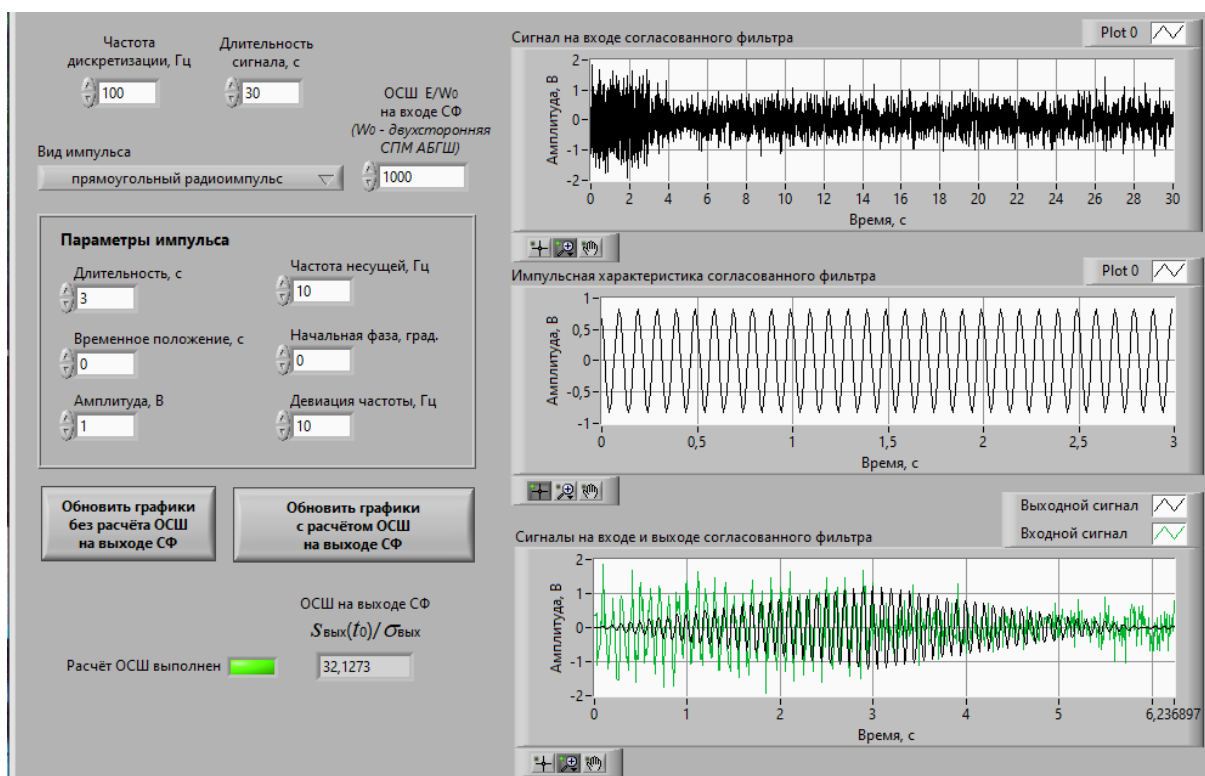
## Прямоугольный видеоимпульс с расчетом ОСШ



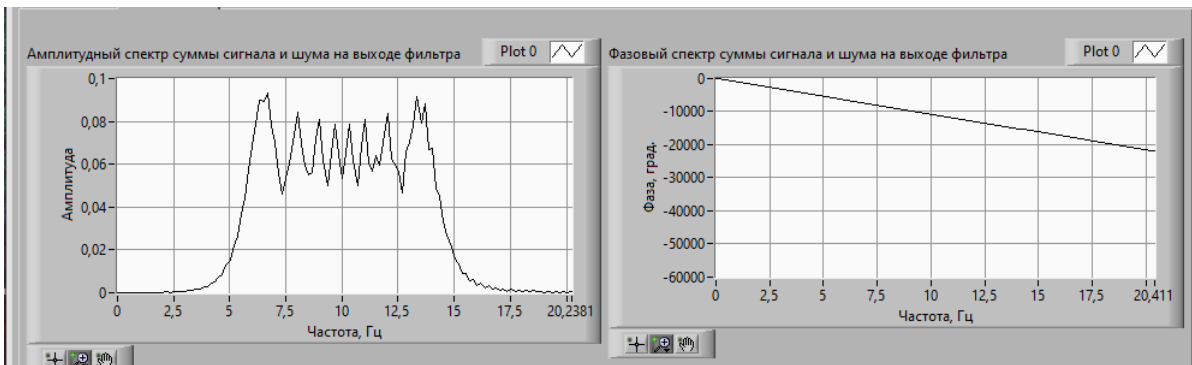
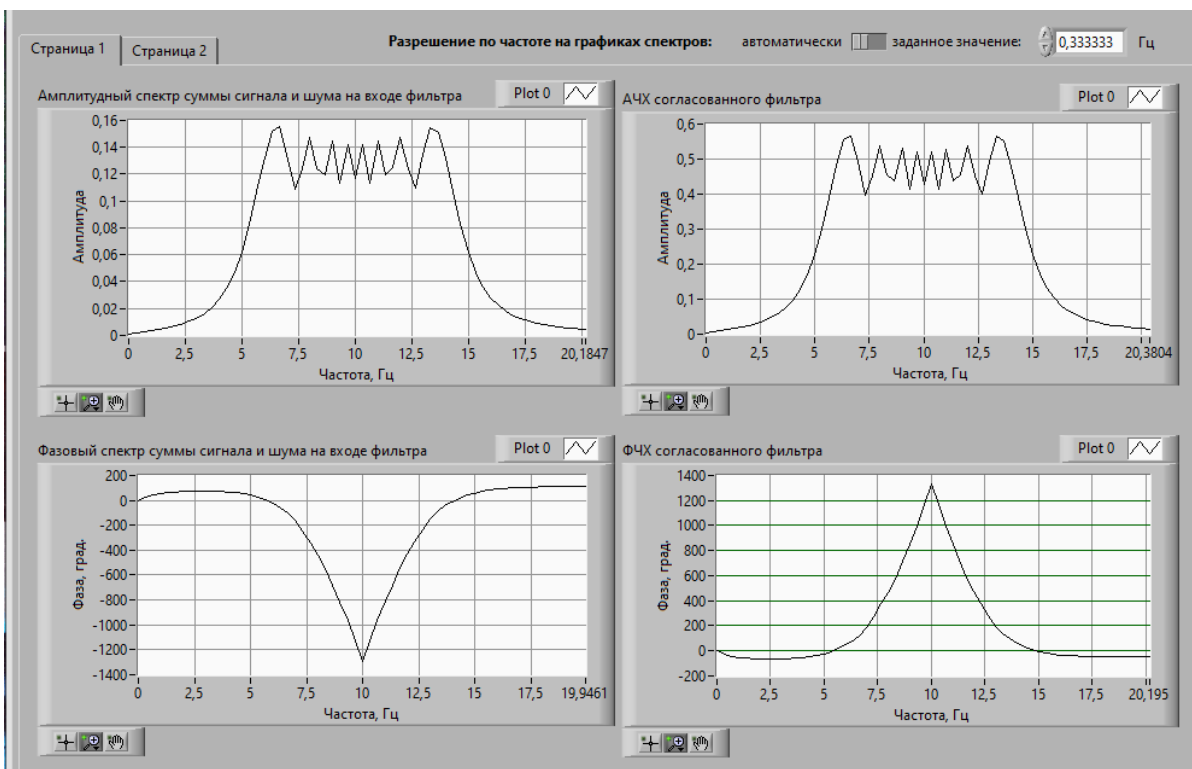
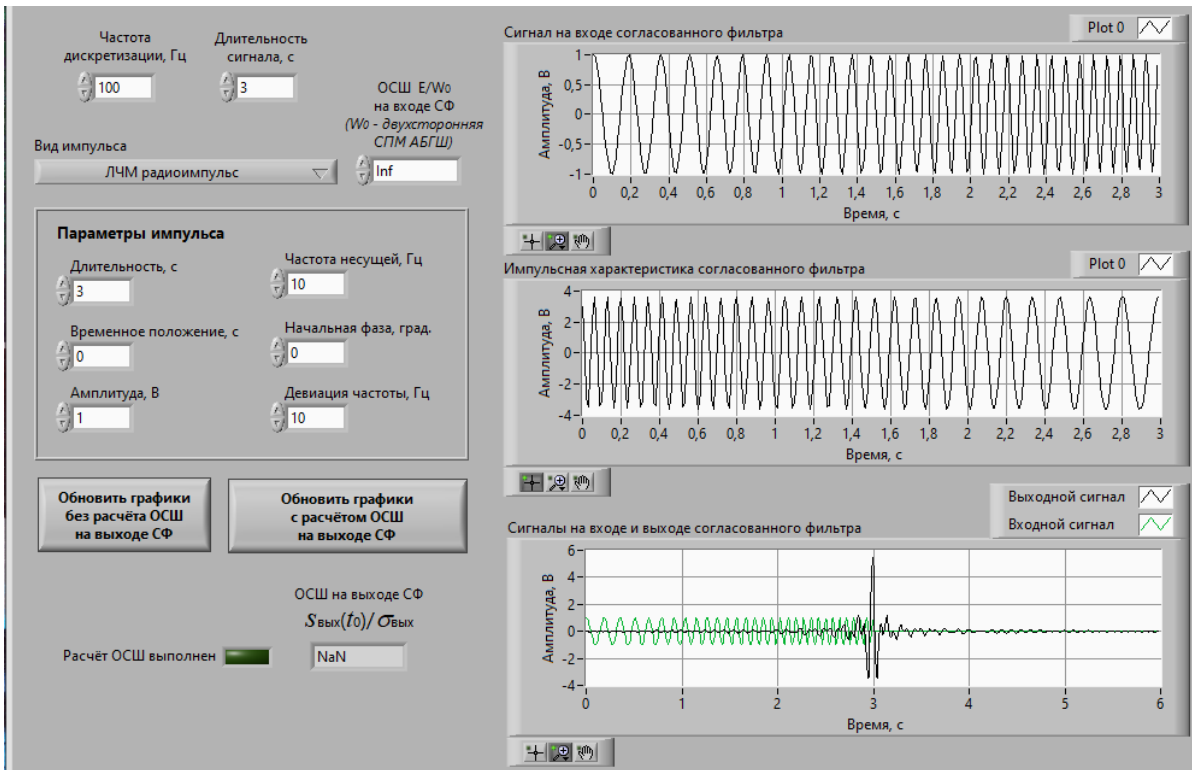
## Прямоугольный радиоимпульс без расчета ОСШ



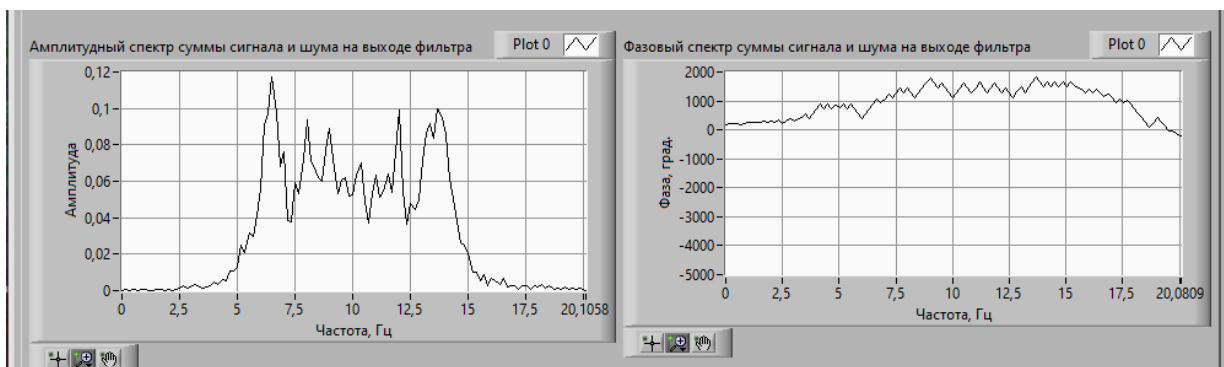
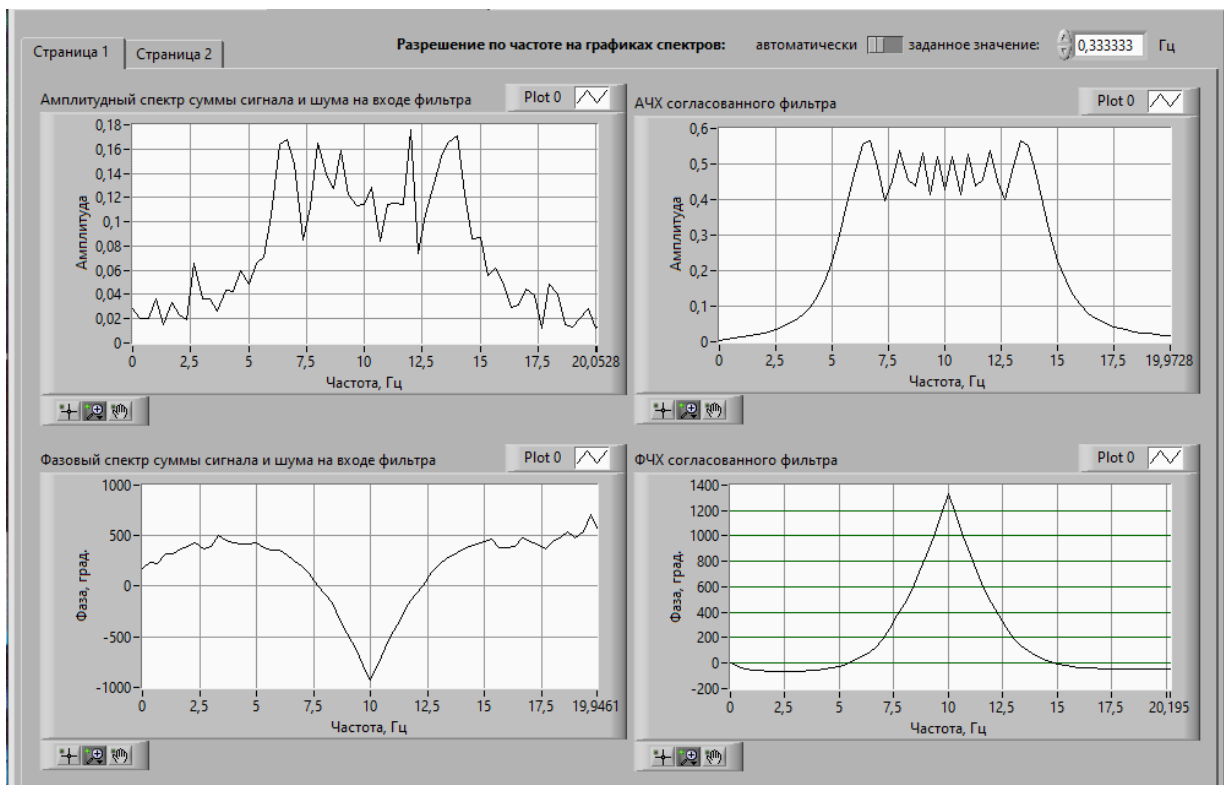
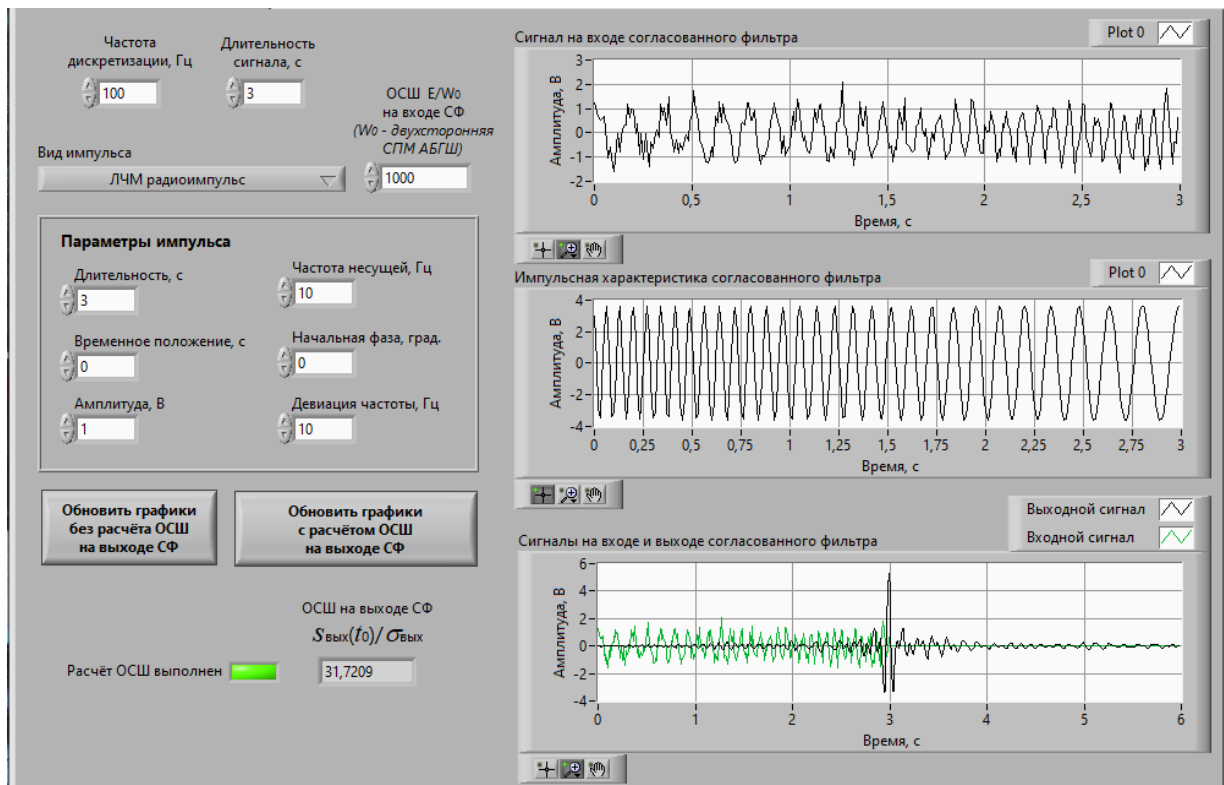
## Прямоугольный радиоимпульс с расчетом ОСШ



## ЛЧМ без расчета ОСШ



## ЛЧМ с расчетом ОСШ





## **Вывод**

Мы изучили построения и свойств оптимальных фильтров на примерах фильтров для видеоимпульсных и радиоимпульсных сигналов прямоугольной формы и радиоимпульса с линейным законом изменения частоты, увидели, что теоретические графики корреляционных функций совпадают с практическими, полученными в процессе лабораторной работы